### 24344446 UUR ЧРЅПРРЗПРОБЕР ЦЧЦЧВИРЦЗР SEQERUSPP ИЗВЕСТИЯ АКАДЕМИИ НАУК АРМЯНСКОЙ ССР

Фрарци-бирыбии, аринирунцайы XVI, № 3, 1963 Физико-математические науки

ТЕОРИЯ УПРУГОСТИ

#### К. С. Чобанян

# Мембранная аналогия задачи кручения составных призматических стержней

Задача о кручении составных стержней впервые была поставлена и исследована Н. И. Мусхелишвили [1].

В настоящей заметке аналогия Прандтля [2] обобщена для задачи кручения составных призматических стержней. Обобщенная мембранная аналогия использована для приближенного исследования задачи нестесненного кручения тонкостенных составных стержней.

1. Пусть призматический стержень состоит из нескольких изотропных и однородных тел с различными модулями упругости, соединенных между собой по боковым поверхностям. Область поперечного сечения  $D_0$  (фиг. 1) такого стержия состоит из нескольких областей  $D_1$ ,  $D_2$ , ...,  $D_N$ , соответствующих различным материалам. Обозначим через  $L_0$  контур  $D_0$ , через  $L_1$ —контур  $D_1$ , а через  $L_{ij}$ —лишню раздела  $D_1$  и  $D_j$ . Область  $D_0$  будем считать пока односвязной. Линии раздела  $L_{ij}$  могут либо находиться целиком внутри  $D_0$ , либо пересекаться с ее контуром.

Функция напряжений при кручении в областях  $D_t$   $(i=1,\ 2\cdots N)$ 

удовлетворяет [3] дифференциальным уравнениям

$$\frac{\partial^2 F_i}{\partial x^2} + \frac{\partial^2 F_i}{\partial y^2} = -2G_i \quad (i = 1, 2, \dots, N), \quad (1.1)$$

контурному условию

вию 
$$F = 0$$
 на  $L_0$ , (1.2)

условиям непрерывности

$$F_i = F_j$$
 Ha  $L_{ij}$  (1.3)

в условиям разрыва нормальной производной F

$$\frac{1}{G_l} \frac{\partial F_l}{\partial n} = \frac{1}{G_l} \frac{\partial F_j}{\partial n} \quad \text{if a} \quad L_{ij}. \tag{1.4}$$

Фиг. 1.

Касательные напряжения определяются соотношениями

$$\tau_{xx}^{i} = \emptyset \frac{\partial F_{i}}{\partial y}, \qquad \tau_{yx}^{i} = -\emptyset \frac{\partial F_{i}}{\partial x}.$$
(1.5)

Здесь  $F_t$ ,  $G_t$ ,  $\tau_{xx}^t$ ,  $\tau_{yx}^t$  обозначают функцию напряжений, модуль 4 имести АН, сереи физ.-мат. ваук. № 3

сдвига и касательные напряжения в области  $D_i$ ,  $\vartheta$  — степень кручения, а n — нормаль к линии раздела  $L_{ij}$ .

Теперь рассмотрим составную мембрану, имеющую в ненагруженном состоянии форму области  $D_0$ . Пусть натяжение мембрань в области  $D_I$  постоянно и равно  $T_I$ . Натянутая на плоский контур  $L_0$  мембрана, имеющая в различных частях различные натяжения, не может находиться в равновесии без дополнительных связей. Огравичим перемещения точек мембраны, лежащих на линии раздела  $L_0$ , так, чтобы они могли свободно двигаться только по направлению, перпендикулярному к плоскости контура  $L_0$ , т. е. наложим связи, запрещающие перемещения точек  $L_{II}$  в ее плоскости. При выполнении этого условия состояние равновесия натянутой мембраны, имеющей в различных областях  $D_I$  различные произвольные натяжения  $T_I$ , будет обеспечено.

Прогиб w составной мембраны, находящейся под действием равномерно распределенного нормального давления p, удовлетворяет [2] дифференциальному уравнению

$$\frac{\partial^2 w_i}{\partial x^2} + \frac{\partial^2 w_i}{\partial y^2} = \frac{p}{T_i} \tag{1.6}$$

в каждой из областей  $D_l$ .

Так как внешний контур мембраны закреплен, то

$$w = 0$$
 на  $L_0$ . (1.7)

Обеспечивая непрерывность прогиба w на линиях раздела  $L_{ij}$ , будем иметь условие

$$w_l = w_l \quad \text{Ha} \quad L_{ij}. \tag{1.8}$$

Из условия равновесия элемента линии раздела, предполагая отсутствие взаимодействий между ее точками, находим

$$T_i \frac{\partial w_i}{\partial n} = T_j \frac{\partial w_j}{\partial n}$$
 на  $L_{ij}$ . (1.9)

Дифференциальное уравнение (1,6) и условия (1,6)—(1.9) однозначно определяют прогиб w во всех областях  $D_{\ell}$ .

Сравнивая уравнения (1.1) и (1.6) и условия (1.2)—(1.4) и (1.7)—(1.9), замечаем, что при выполнении условий

$$2G_t T_t = mp (1.10)$$

между  $F_t$  и  $w_t$  существует зависимость

$$F_i = mw_i$$
 where  $F = mw_i$  (1.11)

где m — произвольный постоянный параметр.

Следовательно, каждая задача о кручении составного стержий односвязного поперечного сечения может быть сопоставлена с задачей о равновесии нагруженной равномерно распределенным нормальным давлением мембраны, натянутой на плоский контур, идентичный контуру поперечного сечения стержия. При этом мембрана в различных областях  $D_i$  должна иметь различные натяжения, определяемые соотношениями (1.10). Как уже отмечалось, на точки линии раздела должны быть наложены связи, допускающие перемещения только по направлению, перпендикулярному к плоскости непрогнувшейся мембраны, и не должно быть взаимодействия между этими точками.

Таким образом, задача кручения составного призматического стержия моментами, приложенными к его торцам, может быть экспериментально решена путем измерения прогибов мембраны, находящейся в вышеуказанных условиях. При этом:

- Линии равного прогиба мембраны будут совпадать с траекториями касательных напряжений.
  - 2. Результирующее касательное напряжение будет

$$\tau_{zs} = \frac{\vartheta}{m} \frac{\partial w}{\partial n}, \qquad (1.12)$$

где b — угол закручивания, n — направление нормали к линии равных прогибов, проходящей через данную точку мембраны.

 Жесткость стержия при кручении определяется при помощи объема V, заключенного между поверхностью прогнувшейся мембраны и плоскостью опорного контура

$$C = \frac{2}{m} V = 2 \iint_{D_{\delta}} F dx dy = 2 \sum_{i=1}^{\infty} \iint_{D_{i}} F_{i} dx dy, \qquad (1.13)$$

В случае составного стержня многосвязного поперечного сечения мембранную аналогию можно получить как частный случай из вышеприведенной аналогии.

Действительно, принимая  $G_I = 0$  в тех областях, контуры которых соответствуют внутренним контурам многосвязного поперечного сечения составного стержня, замечаем, что, согласно уравнению (1.1),  $F_I$  будет гармонической функцией, а ее нормальная производная на  $L_I$ , согласно условию (1.4), будет равна нулю. Следовательно,  $F_I$  будет постоянной внутри  $D_I$ . На основании (1.3) функция F на внутрением контуре  $L_I$ , как и следовало ожидать, будет постоянной.

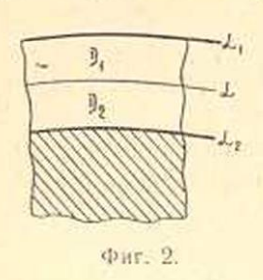
Принимая во внимание, что условие  $G_i = 0$  соответствует условию  $T_1 = \infty$  для составной мембраны, подобными рассуждениями приходим к заключению, что в области  $D_i$  прогиб мембраны должен быть постоянным, что соответствует имитированию внутреннего контура мамбраны абсолютно жесткой невесомой пластинкой, имеющей свободу только поступательного перемещения в направлении, перпендикулярном к ее плоскости.

Таким образом, мембранная аналогия обобщается и для задачи кручения составных стержней многосвязного поперечного сечения.

Достаточно точное экспериментальное решение задачи о кручении составного стержня односвязного или многосвязного поперечного сечения при помощи мембранной аналогии, очевидно, связано с техническими трудностями. Однако, как известно [4], ценность мембравной аналогии для задачи кручения призматических стержней состоит не столько в том, что она открывает новый подход к экспериментальному исследованию проблемы кручения, сколько в том, что она в каждой конкретной задаче дает наглядное геометрическое представление о характере функции напряжений F без какого-либо экспериментального или теоретического исследования задачи.

Ниже мембранная аналогия использована для приближенного решения задачи нестесненного кручения тонкостенных составных стержней.

 Рассмотрим задачи о кручении двухслойной трубы произвольного поперечного сечения. Часть мембраны, соответствующая поперечному сечению трубы, показана на фиг. 2. Заштрихованная область



представляет собой абсолютно жесткую невесомую пластинку, имеющую свободу поступательного перемещения в направлении, перпендикулярном к плоскости чертежа. Контур  $L_1$  закреплен,  $L_2$  перемещается вместе с пластинкой, а точки контура L имеют возможность перемещаться только в направлении, перпендикулярном к плоскости чертежа. Натяжения в областях  $D_1$  и  $D_2$  различны. Они удовлетворяют условию (1.10).

Введем местную систему координат (s, n), где s — длина дуги L, отсчитываемая от произвольной точки L, а n — расстояние точки области  $D_1$  или  $D_2$  до L по ее нормали.

Толщины слоев  $h_1$  и  $h_2$  будем предполагать переменными. Уравнения кривых L,  $L_1$  и  $L_2$  будут n=0,  $n=h_1(s)$  и  $n=-h_2(s)$ .

Отношения толщины слоев к радиусу кривизны р линии раздель L, а также относительные изменения толщин  $h_1$  и  $h_2$  при изменения s на величину порядка  $h_1$  или  $h_2$  будем принимать малыми по сравнению с единицей.

Для части рассматриваемой мембраны, заключенной между координатными линиями  $s=s_1$  и  $s=s_2$  и имеющей длину порядка  $h_1+h_5$  местиую систему координат с принятой здесь точностью можно счатать прямоугольной. Соответствующая часть прогнувшейся составной мембраны, нагруженной вместе с невесомой жесткой пластинкой равномерно распределенным нормальным давлением, будет иметь форму, близкую к цилиндрической, Поэтому можно положить

$$\frac{\partial w_i}{\partial s} = \frac{\partial^2 w_i}{\partial s^2} = 0$$
  $(i = 1, 2).$  (2.1)

Согласно мембранной аналогии и (2.1)

$$\frac{\partial F_i}{\partial s} = \frac{\partial^2 F_i}{\partial s^2} = 0 \quad (i = 1, 2). \tag{2.2}$$

На основании (1.1) и (2,2) имеем

$$\frac{\partial^2 F_i}{\partial s^2} = -2G_i. \qquad (2.3)$$

Граничные условия для  $F_1$  и  $F_2$  получаем из (1.2)—(1.4)

$$F_1 = 0$$
 при  $n = h_1$ ,  $F_2 = F_0$  при  $n = -h_2$ ,  $F_1 = F_2^*$ ,  $\frac{1}{G_1} \frac{\partial F_1}{\partial n} = \frac{1}{G_2} \frac{\partial F_2}{\partial n}$  при  $n = 0$ . (2.4)

Здесь  $F_0$  — постоянное значение  $F_z$  на  $L_z$ .

Интегрируя уравнение (2.2) и используя условия (2.4), находим

$$F_1 = -G_1 n^2 + \frac{n}{h} (G_1 h_1^2 - G_2 h_2^2 - F_0) + \frac{h_1}{h} (G_2 h_2^2 + G_2 h_1 h_2 + F_0),$$
 (2.5)

$$F_{2} = -G_{2}n^{2} + \frac{n}{h} \frac{G_{2}}{G_{1}} (G_{1}h_{1}^{2} - G_{2}h_{2}^{2} - F_{0}) + \frac{h_{1}}{h_{2}} (G_{2}h_{2}^{2} + G_{2}h_{1}h_{2} + F_{0}), \quad (2.6)$$

где через  $h=h_1+rac{G_2}{G_1}\,h_2$  обозначена приведенная толщина трубы.

Постоянная  $F_0$  должна быть определена из обобщенной теоремы Бредта о циркуляции касательных напряжений для задачи о кручении составных призматических стержней [3]. В случае составного тонкостенного открытого профиля  $F_0=0$ .

Для циркуляции касательных напряжений по внутреннему контуру  $L_{\rm p}$ , согласно теореме Бредта, имеем

$$\bigoplus_{L_s} \frac{\partial F_z}{\partial n} ds = -2G_z S. \tag{2.7}$$

Здесь S — площадь области, ограниченной внутренням контуром  $L_2$ , Используя (2.6), из (2.7) получаем

$$F_{0} = \frac{2G_{1}S}{\oint \frac{ds}{h}} \left[ 1 + \frac{1}{2S} \oint \left( h_{1}^{2} + \frac{G_{1}}{G_{1}} h_{2}^{2} + 2h_{1}h_{2} \right) \frac{ds}{h} \right]. \tag{2.8}$$

Пренебрегая в (2.8) малыми членами порядка  $\frac{\hbar}{\rho}$  по сравнению

с единицей, для  $F_{\rm o}$  будем иметь формулу

$$F_0 = \frac{2G_1S}{\oint \frac{ds}{h}}.$$
 (2.9)

На основании (2.5), (2.6) и (2.9) из (1.5) получаем выражения кисительных напряжений  $\tau_{xx}^1$  и  $\tau_{xx}^2$  в соответствующих областях  $D_1$  и  $D_2$ :

$$\tau_{zz}^{1} = -2\theta G_{1}n + \frac{\theta}{h} \left( G_{2}h_{1}^{2} - G_{2}h_{2}^{2} - \frac{2G_{1}S}{\oint \frac{ds}{h}} \right).$$
 (2.10)

$$\tau_{xx}^{2} = -2\theta G_{2}n + \frac{\theta}{h} \frac{G_{2}}{G_{1}} \left( G_{1}h_{1}^{2} - G_{2}h_{2}^{2} - \frac{2G_{1}S}{\oint \frac{ds}{h}} \right)$$
(2.11)

Пренебрегая в (2.10) и (2.10) малыми величинами, будем иметь

$$\tau_{zs}^{l} = \frac{2^{\eta}G_{l}S}{h \oint \frac{ds}{h}}.$$
 (1.12)

Напряжения  $\tau_{zn}^l$  являются малыми по сравнению с напряжениями  $\tau_{zn}^l$ 

Жесткость на кручение определим при помощи мембранной аналогии. Согласно (2.11) и (2.13), имеем

$$C = \frac{M_{kp}}{\emptyset} = \frac{2}{m} V = 2F_0S + 2\int_{D_0}^{\infty} F_1 ds dn + 2\int_{D_0}^{\infty} F_2 ds dn, \qquad (2.13)$$

Внося выражения  $F_1$  и  $F_2$  из (2.5) и (2.6) в (2.13), после некоторых преобразований находим

$$C = 2F_0S + F_0 \oint (h_1 + h_2)^2 \frac{ds}{h} + \frac{G_1}{3} \oint (h_1^2 - \frac{G_2}{G_1}h_2^2)^2 \frac{ds}{h} + \frac{2G_2}{3} \oint h_1h_2(h_1 + h_2)^2 \frac{ds}{h}.$$
 (2.14)

Пренебрегая в (2.14) малыми величинами порядка  $\frac{h^3}{
ho^3}$  по срав-

нению с  $\frac{h}{\rho}$  и принимая во внимание (2.8), находим упрощенную формулу для определения жесткости при кручении тонкостенного стержня двусвязного профиля

$$C = \frac{2G_1 s}{\oint \frac{ds}{h}} \left[ 2S + 2 \oint (h_1 + h_2)^2 \frac{ds}{h} + \left( 1 - \frac{G_2}{G_1} \right) \oint h_2^2 \frac{ds}{h} \right]$$
 (2.15)

Формулу для жесткости C можно еще упростить, пренебрегая в (2.15) величинами порядка  $\frac{\hbar^2}{\rho^2}$  по сравнению с единицей. Получаем

$$C = \frac{4G_1S^3}{\mathring{\mathbb{Q}}\frac{ds}{h}}.$$
(2.16)

Обобщение формул (2.10)—(2.16), когда число областей поперечного сечения, соответствующих различным материалам составного призматического стержия, и степень многосвязности  $D_0$  больше двух, дополнительного принципиального исследования не требует.

Как видно из (2.12) и (2.16), упрощенные выражения для касательных напряжений и жесткости при кручении однородного и составного стержней двусвязного профиля одинаковы, только в последнем случае обычная толщина в соответствующих формулах для однородных стержней [2] должна быть заменена приведенной толщиной  $h=h_1+\frac{G_2}{G}k_2$ .

Формулы (2.10), (2.11) и (2.15) могут быть использованы для более точного определения касательных напряжений и жесткости при кручении составных стержней, когда малые величины порядка  $\frac{h}{p}$  в расчетах представляют интерес. Из этих формул можно получить выражения касательных напряжений и жесткости при нестесненном кручении тонкостенного двухслойного стержня произвольного открытого профиля. Принимая в (2.10), (2.11) и (2.14)  $F_0 = 0$ , находим

$$\tau_{zz}^{1} = -2\theta G_{1}n + \frac{\theta}{h} (G_{1}h_{1}^{2} - G_{2}h_{2}^{2}),$$
 (2.17)

$$\tau_{2s}^2 = -2\theta G_2 n + \frac{\theta}{h} \frac{G_2}{G_1} (G_1 h_1^2 - G_2 h_2^2),$$
(2.18)

$$C = \frac{G_1}{3} \int_{f} \left( h_1^2 - \frac{G_2}{G_1} h_2^2 \right)^2 \frac{ds}{h} + \frac{4G_2}{3} \int_{f} h_1 h_2 (h_1 + h_2)^2 \frac{ds}{h}.$$
 (2.19)

Заесь интегрирование производится по незамкнутой линии раздела L, которая может иметь разветвления.

Заметим, что, придавая одной из величин  $G_1$ ,  $G_2$ ,  $h_1$ ,  $h_2$  значение нуль, из формул (2.17)—(2.19) получим соответствующие известные [2] формулы для однородных тонкостенных стержней открытого профиля.

Следует отметить, что, как и в случае однородных тонкостенных стержней, полученные в этой заметке формулы не могут дать близкое к действительному распределение касательных напряжений в окрестности тех точек L, где нарушаются условия, на основании которых получены эти формулы (наличие угловых точек, большая кринязна L, резкое изменение толщин  $h_1$  и  $h_2$ ). Однако, искажение действительного распределения напряжения формулами (2.10)—(2.12), (2.17) и (2.18) имеет местный характер и не влияет на величину жесткости при кручении сколь-нибудь существенным образом, так как площадь областей, где это искажение значительно, мала по сравнению со всей площадью поперечного сечения стержия.

Ниститут математики и механики АН Армянской ССР

#### 4, U. 2ոբանյան

## ԲԱՂԱԴՐՅԱԼ ՊՐԻԶՄԱՏԻԿ ՁՈՂԵՐԻ ՈԼՈՐՄԱՆ ԽՆԴՐԻ ՄԵՄԲՐԱՆԱՅԻՆ ԱՆԱԼՈԳԻԱՆ

#### UUDUUUU

Տարբեր առաձգականության մոդուլներ ունեցող, իղոարոպ, համասեռ և կողմնային մակերևույթներով իրար հետ միացված պրիզմայաձև մարմիններից կաղմված պրիզմատիկ ձողի ոլորման իննդիրը համապատասխանության մեջ է դրվում այդ ձողի լայնական հատվածքի ձևն ունեցող, արտաքին կոնտուրով ամրացված և հավասարաչափ բաշխմած ք նորմալ բեռի տակ գտնվող բաղաղրյալ մեմբրանի ծռման խնդրի հետ։ Ձողի լայնական հատվածքի տարբեր նյութերին համապատասխանող տիրույթներում մեմբրանի  $T_1(i=1,2,\cdots N)$  ձպվածությունը պետք է լինի տարբեր և բավարարի (1.10) պայմանին, որտեղ  $G_1$ -ն նյունի սահրի մոդուլն է, իսկ m-ը՝ հաստատուն կամայական պարամետր։ Բաղադրյալ մեմբրանի տարբեր մասերում տարբեր ձղվածություն ստանալու համար պետք է տիրույթների բաժանման գծերի կետերի տեղափոխությունները չծոված մեմբրանի հարքության մեջ բոլորովին արդելիլ այնպես, որ այդ կետերը հնարավորություն ունենան տեղափոխվելու միայն չծոված մեմրրանի հարքության ուղղահայաց, ընդ որում նրանց միջև անժիջական փոխազդեցություններ չպետք է լինեն։

Քաղաղրյալ ձողերի ոլորման խնդրի մեմբրանային անալոգիան առանց խնդրի լուծումը դանելու տալիս է լարումների ֆունկցիայի երկրաչափական պատկերացումը, որի օգնությամբ որոշ դեպքերում «նարավոր է գտնել մոտավոր լուծում, երբ խնդրի «չդրիտ լուծումը կապված է դժվարությունների Տետ։

Որպես դետարկված անալոդեայի կերտուռնյուն ըննարկվում է բարակապատ երկշերտ ձողի չկաշկանդված ոլորման խնդիրը։ Ինչպես փակ, այնպես էլ բաց պրոֆիլների դեպքում շոշափող լարումների և կոշտունյունների համար ստացված են մոտավոր բանաձևեր։ Ենե բավարարվում ենք ընդունված մոտավորունյամբ, ապա երկշերտ և համասեռ բարակապատ ձողերի ոլորման խնդիրներում ինչպես շոշափող լարումները, այնպես էլ կոշտունյունները որոշվում են նույն բանաձևերով, միայն երկշերտի դեպքում պատի սովորական հաստունյան փոխարեն պետք է վերցնել բերված հաստունյունը

$$h = h_1 + \frac{G_2}{G_1}h_2,$$

որտեղ ել-ը և եշ-ը շերտերի հաստություններն են։

#### ЛИТЕРАТУРА

- Мусхелишвили Н. И. Некоторые основные задачи теории упругости. Изд. АН СССР, М., 1954.
- 2. Тимошенко С. П. Теория упругости. ОНТИ, М., 1937.
- Чобанян К. С. Известия АН АГмССР, серия физ.-мат., ест. и техн. паук, 8, № 2, 1955.
- 4. Новожилов В. В. Теория упругости. Судпромгиз, Л., 1958.